

Differentes approches des phénomènes lumineux au cours de l'histoire des sciences : géométrique, ondulatoire, électromagnétique, quantique

Chaque nouvelle approche inclut la précédente et l'étend

Optique géométrique (1621 Snell ; 1637 Descartes ; 1657 Fermat) est une approximation des autres approches : rayons  $\perp$  surfaces d'onde ; selon le vecteur de Poynting (courant d'énergie électromagnétique) ; selon la direction de propagation des photons.

## I. Principe de Fermat et lois de la réflexion - réfraction

### I.1. Notion de chemin optique

Vitesse dans un milieu  $v < c$  = vitesse de la lumière dans le vide  $\approx 3 \times 10^8 \text{ m/s}$   
 $=$  constante d'Einstein (vitesse limite)

Indice optique

$$n = \frac{c}{v}$$

$n > 1$  (milieu supposé homogène, transparent et isotrope)

Durée de propagation  $\Delta t = \frac{d}{v} = \frac{L}{c}$   
 $=$  chemin optique  $L/c$

$$L = c \Delta t = n d$$

$$\begin{aligned} n(\text{verre}) &\approx 1,5 \\ n(\text{eau}) &\approx 1,33 \\ n(\text{air}) &\approx 1 \end{aligned}$$

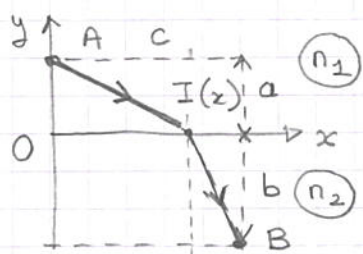
### I.2. Principe de Fermat

Pour aller d'un point A à un point B, L<sub>AB</sub> est minimal (en toute rigueur extrémal)

$\Rightarrow$  la lumière se propage en ligne droite (milieu homogène)  
(sinon  $\frac{d(n \vec{r})}{ds} = \vec{\text{grad}} n$ ) ( $\vec{\text{grad}} n = \vec{0}$ )

### I.3. Lois de Snell-Descartes

Deux milieux ( $n_1$  et  $n_2$ ) séparés par un dioptre  $L = n_1 d_1 + n_2 d_2$  minimal



$$\frac{dL}{dx} = \frac{d}{dx} (n_1 AI + n_2 IB) = \frac{d}{dx} \left[ n_1 (x^2 + a^2)^{1/2} + n_2 [(c-x)^2 + b^2]^{1/2} \right]$$

$$= n_1 \frac{x}{AI} - n_2 \frac{x}{IB} = n_1 \sin i_1 - n_2 \sin i_2$$

Refraction

$$n_1 \sin i_1 = n_2 \sin i_2 \quad \text{avec retour inverse}$$

Réflexion ( $n_1 = n_2$ )  $| i_1 = i_2$

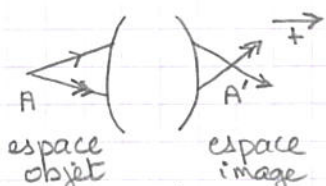
On minimise aussi selon O<sub>3</sub>  $\Rightarrow$  tous les rayons appartiennent au plan d'incidence.

Angle de réfraction limite

$$0 < \sin i_2 \leq \frac{n_1}{n_2} = \sin i_c$$

## II Conjugaison objet / image

### II.1. Définitions



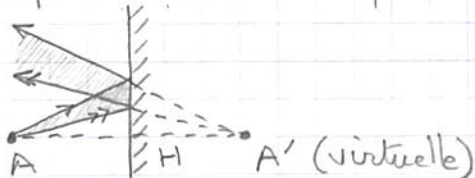
Si A ∈ espace objet : réel ; Si A' ∈ espace image : virtuel

Idem pour A'

A' conjugué de A via le système optique  $\Rightarrow$  principe de Fermat

$$L(AA') = \text{cte} \quad \forall \text{rayon considéré}$$

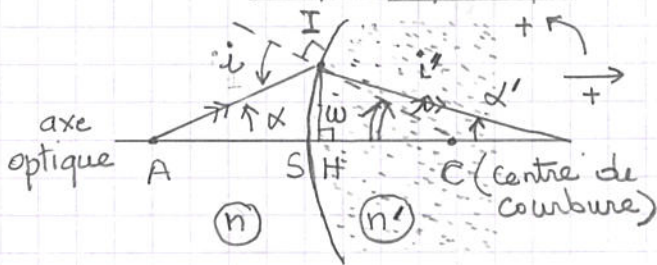
Exemple d'un miroir plan :



$$\overline{HA}' = -\overline{HA}$$

ne dépend pas de l'angle  $\Rightarrow$  stigmatisme rigoureux

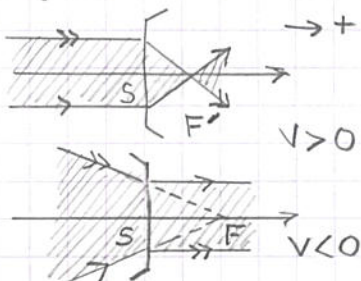
## II.2. Dioptrie sphérique



$$\alpha = \frac{HI}{AH} > 0 \quad \alpha' = \frac{H'I'}{A'H} < 0 \quad w = \frac{HI}{CH} < 0 \quad i = d - w > 0 \quad i' = d' - w > 0$$

$$\Rightarrow n(d-w) = n'(d'-w') \quad H \approx S \quad \boxed{\frac{n'}{SA'} - \frac{n}{SA} = \frac{n'-n}{SC} = V}$$

Application au dioptrie plan  
Définitions des foyers



$F'$  = image d'un objet à l'infini réelle si  $V > 0$  (convergent)

$F$  = objet d'une image à l'infini réel si  $V > 0$

$$\boxed{SF' = \frac{n'}{V}}$$

$$\boxed{SF = -\frac{n}{V}}$$

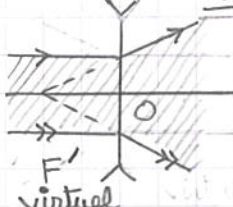
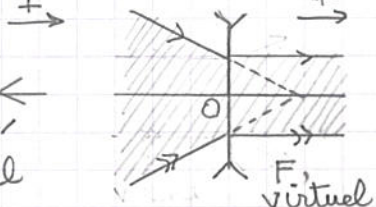
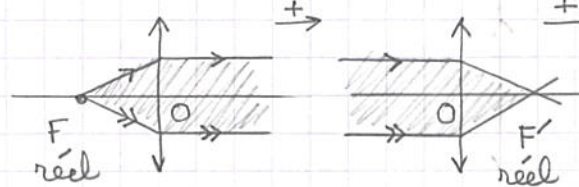
## II.3. Lentilles minces

Ensemble de deux dioptres ; épaisseur ≪ rayons de courbure  
Approximation de Gauss et stigmatisme approché

$$A \xrightarrow{D_1} A'_1 = A_2 \xrightarrow{D_2} A' \quad ; \text{ milieux extrêmes = air } (n=1)$$

$$\frac{n}{S_1 A'_1} - \frac{1}{S_1 A} = \frac{n-1}{R_1} = V_1 \quad \frac{1}{S_2 A'} - \frac{n}{S_2 A_2} = \frac{1-n}{R_2} = V_2 \quad S_1 = S_2 = 0$$

$$\Rightarrow \boxed{\frac{1}{OA'} - \frac{1}{OA} = V_1 + V_2 = V} \quad \Rightarrow \text{Conjugaison (Descartes)} \quad \boxed{\frac{1}{P'} - \frac{1}{P} = \frac{1}{f'} = -\frac{1}{f}}$$

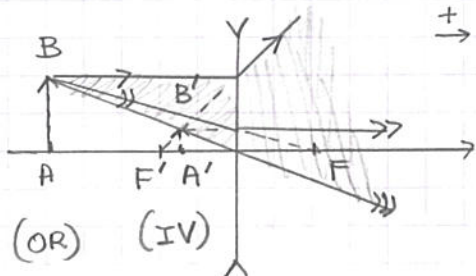
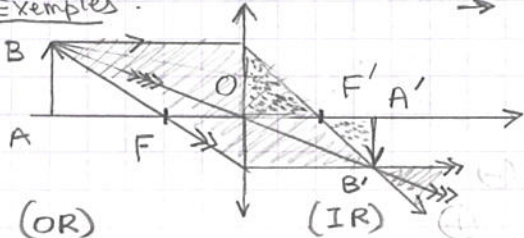


Notion de foyers secondaires

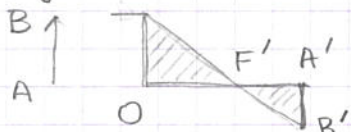
(les mêmes figures avec inclinaison sur l'axe ; utiles pour le tracé des rayons)

Constructions géométriques : utilisation des rayons "remarquables" : passant par O, par F ou par F' (ou semblant passer par si virtuels) et foyers secondaires.

Exemples :



Ombres et ombres transversales



$$G_t = \frac{\overline{A'B'}}{\overline{AB}} = -\frac{\overline{F'A'}}{\overline{f'}} = +\frac{\overline{f'}}{\overline{fA}} = \frac{\overline{P'}}{\overline{P}}$$

$$\Rightarrow \text{Conjugaison (Newton)} \quad \sigma = \overline{FA}, \sigma' = \overline{F'A'} \quad \sigma \sigma' = f f'$$

### III Instruments d'optique (Applications)

Association de lentilles minces et éventuellement de miroirs (catadioptriques)

#### III.1. Association de deux lentilles minces (doublet)

Principe :  $A \xrightarrow{L_1} A'_1 = A_2 \xrightarrow{L_2} A'$  |  $\Delta e = \overline{O_1 O_2}$   
 $P_1 = \overline{O_1 A}, P_2 = \overline{O_2 A_2}$

Détermination des foyers principaux

- image (pour  $A \rightarrow \infty \Rightarrow A_2 = F'_1$ )

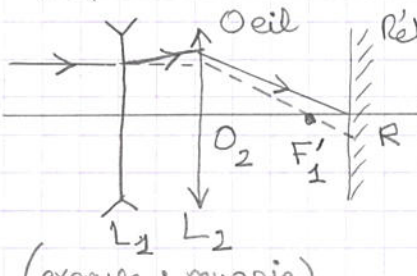
- objet (pour  $A' \rightarrow \infty \Rightarrow A'_1 = F_2$ )

Formule de Gullstrand

$$V = \frac{1}{f'} = \frac{1}{f'_1} + \frac{1}{f'_2} - \frac{e}{f'_1 f'_2} \Rightarrow V = V_1 + V_2$$

(lentilles accolées)

#### III.2. Application : correction de la vision



- \* normal (emmetrope) sans accomoder  
 $P_R = \text{punctum remptum } \infty \rightarrow A' \text{ en } R$   
 (le plus éloigné)
- \* myope (trop convergent)  
 $P_R \text{ réel à distance finie} \rightarrow A' \text{ avant } R$   
 ⇒ trop convergent
- \* hypermétrope (pas assez convergent)  
 $P_R \text{ virtuel en arrière de } R \Rightarrow A' \text{ après } R$   
 ⇔ pas assez convergent

Principe de la correction : on ajoute  $L_1$  tel que

$$A \infty \xrightarrow[L_1]{L_2} F'_1 = P_R \rightarrow A' = R \Rightarrow V_1 < 0 \text{ (myope); } V_1 > 0 \text{ (hypermétrope)}$$

Presbytie = problème d'accommodation :  $P_p$  (punctum proximum) en accommodant trop loin ; on ajoute  $L_{\text{conv}}$  pour corriger la vue de près

#### III.3. Microscope

Principe : objectif qui grandit  $\overline{AB}$  réel  $\rightarrow \overline{A'B'}$  réel  $= G_{\text{obj}} \times \overline{AB}$   
oculaire qui grossit  $\overline{A'B'}$   $\rightarrow \overline{A''B''}$  virtuel que l'on observe à l'œil (comme avec une loupe)

$$f'_{\text{obj}} \approx \text{quelques mm}$$

$$f'_{\text{ocu}} \approx \text{quelques cm}$$

$$(Obj)$$

$$B \quad F'_1 \quad A'_1 = F_2$$

$$A \quad Obj \quad B'$$

$$A'B' \text{ à l'}\infty$$

Fonctionnement sans accommodation

$$F'_1 = F_2$$

Puissance :

$$P = \frac{\alpha'}{\alpha} = \frac{\alpha'}{AB} = \frac{A'B'}{AB} = \frac{P_{\text{ocu}} \times G_{\text{obj}}}{d_m}$$

$\alpha' = \text{angle sous lequel est observée l'image finale}$

$$G_{\text{gross}} = \frac{\alpha'}{\alpha} = \frac{\alpha'}{AB/d_m} = P \times \frac{d}{d_m}$$

$AB = \text{taille de l'objet}$   
 $d_m = \text{distance minimale de vision} (\sim 25 \text{ cm})$

## OPTIQUE ONDULATOIRE

Basée sur le principe d'Huygens (1678) - Fresnel (1818) : la lumière se propage de proche en proche, et chaque élément de surface atteint se comporte comme une source secondaire dont l'amplitude est proportionnelle à cet élément de surface. La vibration en un point est la somme (au sens vectoriel ou complexe) des vibrations partielles qui y interfèrent (principe de superposition). Justification dans le cadre de la théorie électromagnétique de Maxwell ; celle-ci y ajoute le caractère vectoriel (polarisation) et en élargit le spectre des applications (X, UV → télécommunications).

## I. Interférence à deux ondes

La superposition de 2 ondes lumineuses sur un détecteur peut donner l'obscurité !

## I.1. Superposition de deux ondes planes scalaires monochromatiques

$$\Psi(\vec{r}, t) = \underline{\Psi}_1(\vec{r}, t) + \underline{\Psi}_2(\vec{r}, t) = A_1 \exp[i(\vec{R}_1 \cdot \vec{r}_1 - w_1 t + \phi_1)] + A_2 \exp[i(\vec{R}_2 \cdot \vec{r}_2 - w_2 t + \phi_2)] \\ = A_1 \exp[i(-w_1 t + \phi_1)] + A_2 \exp[i(-w_2 t + \phi_2)] \text{ avec } \vec{\phi}_{1/2} = \vec{R}_{1/2} \cdot \vec{r}_{1/2} + \phi_{1/2}$$

Détecteur placé en  $\vec{r}$  détecte la valeur moyenne de l'intensité résultante  $I = |\underline{\Psi}|^2 = \underline{\Psi}^* \underline{\Psi}^*$  la moyenne étant prise sur la durée de détection (toujours bien plus grande que la période optique (qqes fs))

$$I = (\underline{\Psi}_1 + \underline{\Psi}_2)(\underline{\Psi}_1^* + \underline{\Psi}_2^*) = I_1 + I_2 + I_{12} \quad \text{avec } I_1 = |\underline{\Psi}_{1/2}|^2 = A_{1/2}^2$$

et  $I_{12} = \text{terme d'interférence} = \underline{\Psi}_1 \underline{\Psi}_2^* + \underline{\Psi}_1^* \underline{\Psi}_2$

$$I_{12} = 2 \operatorname{Re} \{ \underline{\Psi}_1 \underline{\Psi}_2^* \} = 2 A_1 A_2 \cos[(w_1 - w_2)t - (\phi_1 - \phi_2)]$$

Il faut que  $w_1 = w_2$  avec  $\phi_1 - \phi_2 = \phi = \text{cte}$  sinon  $\cos = 0$

⇒ nécessite d'une cohérence entre les ondes, pas de caractère aléatoire. Parfaite cohérence ⇒

$$I_{12} = 2 A_1 A_2 \cos \phi \Rightarrow I = I_1 + I_2 + 2 \sqrt{I_1 I_2} \cos \phi$$

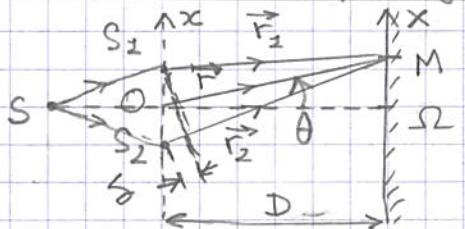
$$\text{Facteur de visibilité} \quad V = \frac{I_M - I_m}{I_M + I_m} = \frac{2 \sqrt{I_1 I_2}}{I_1 + I_2} = \frac{\langle I \rangle_{\text{génom.}}}{\langle I \rangle_{\text{aritm.}}} = \frac{\sqrt{I_1 I_2}}{(I_1 + I_2)/2}$$

Cas particulier des ondes de même amplitude  $A_1 = A_2 = \sqrt{I_0}$

$$I(\vec{r}) = 2 I_0 [1 + \cos \phi(\vec{r})] = 4 I_0 \cos^2 \phi(\vec{r})$$

$\phi = n 2\pi \Rightarrow$  frange brillante  $I_M = 4 I_0$ ;  $\phi = (n+1/2) 2\pi \Rightarrow$  frange sombre  $I_m = 0$  d'où  $V = V_M = 1$

## I.2. Calcul du déphasage et de l'interférence



$S_1$  et  $S_2$  = sources secondaires cohérentes choisies en phase ( $\phi_2 - \phi_1 = 0$ )

$$\phi = \vec{R}_2 \cdot \vec{r}_2 - \vec{R}_1 \cdot \vec{r}_1 = k (S_2 M - S_1 M) = k \delta$$

$$\phi = 2\pi \frac{\delta}{\lambda} = 2\pi p \quad \delta = \text{différence de marche} \quad p = \text{ordre d'interférence}$$

$$\delta \approx a\theta \approx a \frac{X}{D} \quad \Delta p = 1 \Leftrightarrow \Delta \phi = 2\pi \Leftrightarrow \Delta \delta = \lambda \Leftrightarrow \left[ \Delta X = \frac{\lambda}{p} = \lambda \frac{D}{a} \right]$$

$$I(x) = (I_1 + I_2) \left[ 1 + V \cos \left( 2\pi \frac{X}{\lambda} \right) \right]$$

Rem: suppose  $\theta$  petit ⇒ à nouveau pour  $\theta$  grand, notamment  $\theta = \pi/2$   
suppose les deux ondes totalement cohérentes ( $V$  lié à  $I_1 \neq I_2$ )  
énergie conservée  $\langle I(x) \rangle_x = I_1 + I_2$  (pb. de répartition)

$S_{S_1}$  peut être différent de  $S_{S_2} \Rightarrow S$  supplémentaire  
si on interpose une lame ( $e, n$ ) sur  $S_{S_2} M \Rightarrow S_{\text{suppl}} = (n-1)e$

### I.3. Degrés de cohérence

#### a) Cohérence temporelle

Polychromatique :  $\nu' \neq \nu \Rightarrow \lambda' \neq \lambda \Rightarrow i' \neq i$  (brouillage)

Exemple :  $I_1 = I_2 = I'_1 = I'_2 = I_0/2$ ;  $\nu' \approx \nu = \nu_0$ ;  $\nu' - \nu = \Delta\nu \ll \nu_0$

$$I_t = I + I' = I_0 (2 + \cos \phi + \cos \phi')$$

$$= 2 I_0 \left( 1 + \cos \frac{\Delta\phi}{2} \cos \phi_0 \right)$$

Facteur de visibilité défini sur les franges brillantes ( $\phi_0 = p \cdot 2\pi$ )

$$I_{t,M} = 2 I_0 \left( 1 + \cos \frac{\Delta\phi}{2} \right); I_{t,m} = 2 I_0 \left( 1 - \cos \frac{\Delta\phi}{2} \right) \Rightarrow V = \left| \cos \frac{\Delta\phi}{2} \right|$$

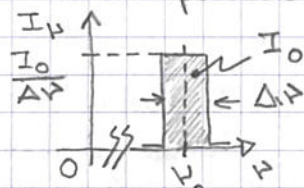
$$\phi = 2\pi \frac{\nu}{c} = 2\pi \frac{\nu}{c} \tau = 2\pi \nu \tau \quad (\tau = \text{décalage temporel})$$

$$\Delta\phi = 2\pi \Delta\nu \tau; \text{ brouillage négligeable si } \Delta\phi \ll 2\pi \Rightarrow \tau \ll \frac{1}{\Delta\nu} \equiv \tau_c$$

$\tau_c$  = durée de cohérence;  $L_c$  = longueur de cohérence temporelle

Source quasi-monochromatique (largeur naturelle + collisions + Doppler)

Intensité spécielle modélisée :  $I_\nu = I_0 / \Delta\nu$  pour  $\nu_0 - \frac{\Delta\nu}{2} \leq \nu \leq \nu_0 + \frac{\Delta\nu}{2}$

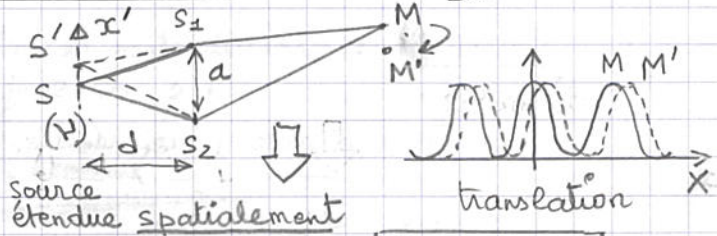
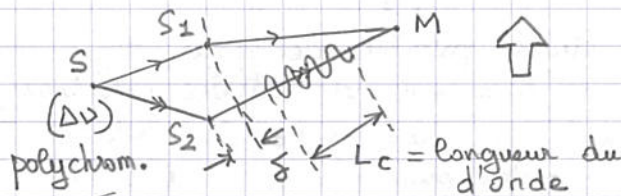


$$V = |\underline{\chi}_t| = \left| \frac{\sin(\pi \Delta\nu \tau)}{\pi \Delta\nu \tau} \right|$$

( $\underline{\chi}_t = \text{TF}\{I_\nu\}$ ) (Wiener-Kintchine)

Contraste nul inversion

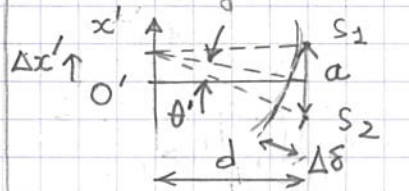
$$\tau_c = \frac{1}{\Delta\nu}$$



#### b) Cohérence spatiale

$$S \rightarrow S \quad S' \rightarrow S' \quad \Delta s = s' - s \Rightarrow \Delta\phi = 2\pi \frac{\Delta s}{\lambda}$$

cas général  $V = |\underline{\chi}_s|$  avec  $\underline{\chi}_s = \text{TF}\{I(x')\}$  (van Cittert et Zernike)



$$\Delta s = a\theta = a \frac{e}{d} \quad V = \left| \cos \left( \frac{\pi e}{\lambda d} \right) \right|$$

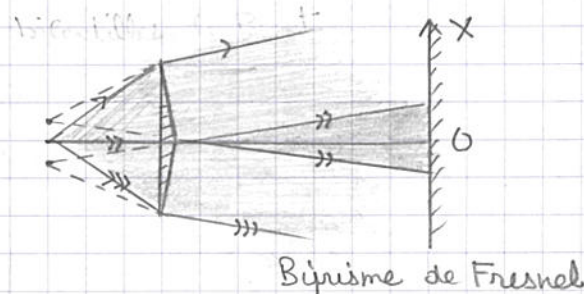
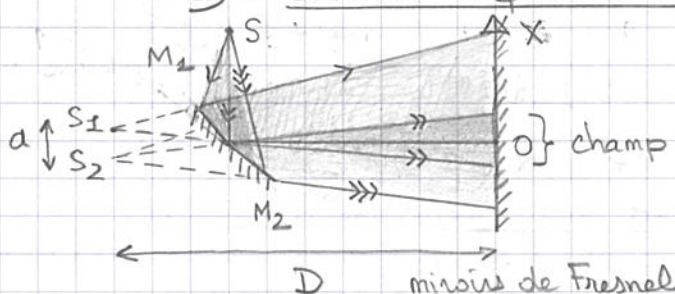
Application : mesure du diamètre apparent  $\theta = \frac{e}{d}$  d'une étoile  
on augmente  $a \Rightarrow V=0$  si  $\Delta\phi=\pi$  et  $\theta = \frac{1}{2} \frac{\lambda}{d}$

Application : spectroscopie par transformée de Fourier : on mesure  $V$  en fonction de  $X$  (ou de  $\delta$ ) et on a par TF les informations sur  $I_\nu$ .

### I.4. Dispositifs interférentiels

$S \Rightarrow S_1 \oplus S_2$  : division du front d'onde ou division d'amplitude.

#### a) Division du front d'onde

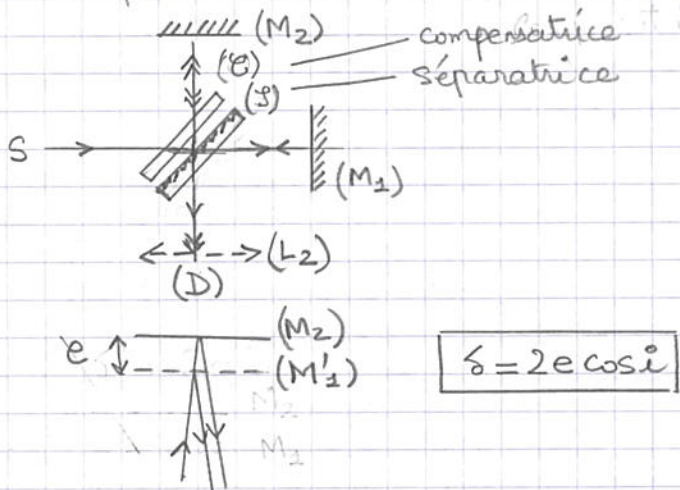


Biprisme de Fresnel

le plus utilisé : trous ou fentes d'Young (cf "Diffraction")  
Champ d'interférence : pas de localisation des franges

### b) Division d'amplitude

Interférométrie de Michelson : deux modes de fonctionnement :



- a)  $M_1 \parallel M_2 \Rightarrow$  épaisseur d'air et inclinaison variable : source étendue  $\Rightarrow$  franges à égale inclinaison circulaire à l'infini
- b)  $M_1 \perp M_2 \Rightarrow$  coin d'air et variable et  $i$  fixe  $\Rightarrow$  franges d'égale épaisseur, localisées sur le miroir.

Visualisation expérimentale :

- a) lentille L<sub>2</sub> avec détecteur (écran) dans son plan focal
- b) lentille L<sub>2</sub> forme l'image de M<sub>2</sub> sur l'écran

### c) Systèmes à ondes multiples

Division des front d'onde  $\Rightarrow$  réseaux (cf "Diffraction")

Division d'amplitude  $\Rightarrow$  Fabry-Pérot, lames de verre ou d'eau  
 $\delta = 2e \cos i$        $\delta = 2ne \cos r$

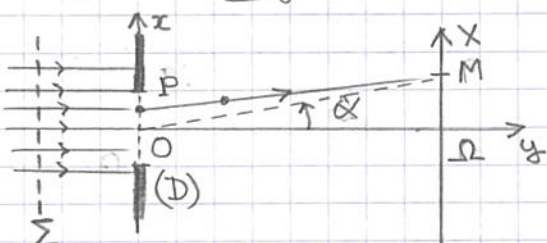
Conclusion (I) généralisation de cette étude possible aux autres types d'ondes (acoustiques, ondes de surface d'eau, ondes de matière : électrons, neutrons, atomes)  
Insuffisance pour rendre compte des phénomènes de polarisation [atomes] des phénomènes à très faible intensité (optique corpusculaire, quantique)

Nombreuses applications, notamment en spectrométrie, météorologie (mesure des distances, des faibles épaisseurs), holographie ...

## II Diffraction

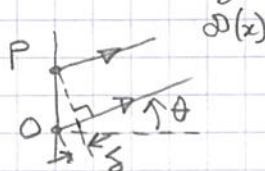
### II.1. Approximation de Fraunhofer

Principe de Huygens-Fresnel



A une dimension :

$$\Psi(M) = \int \text{cte} \exp[-ik\delta(p)] \cdot d(OP)$$



$$\Psi(M) = \int \frac{\text{cte}}{PM} \exp(i \vec{R} \cdot \vec{PM}) dS(p)$$

D diaphragme

$PM \gg (OP)_{\max}$        $PM \approx OM$  dans l'amplitude ; pas dans la phase  
 $\vec{R} \cdot \vec{PM} = \vec{R} \cdot (\vec{OM} - \vec{OP}) = k(OM - OP)$   
 $\simeq -k \delta(p)$        $\delta$  = différence de marche ( $PM - OM$ )

OM grand  $\Rightarrow$  observation à l'infini"

$$\boxed{\Psi(M) = \text{cte} \int \exp(-ik\delta(x)) dx = TF \delta t(x)}$$

$t(x) = \text{transmittance du diaphragme}$

A deux dimensions

$$\Psi(M) = \text{cte} \int t(x,y) \exp[-ik(\alpha x + \beta y)] dx dy$$

## II.2. Diffraction par une fente rectangulaire

$$t(x) = 1 \text{ pour } |x| < d/2 ; t(x) = 0 \text{ pour } |x| > d/2$$

$$\Psi(x) = \text{cte} \alpha \frac{\sin(kd\alpha/2)}{(kd\alpha/2)} = \Psi(0) \frac{\sin(\pi d\alpha/\lambda)}{\pi d\alpha/\lambda} = \Psi(0) \operatorname{sinc}\left(\frac{d\alpha}{\lambda}\right)$$

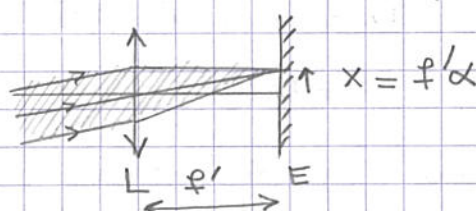
↑ direction angulaire

$$\Psi(u) = \Psi_0 \operatorname{sinc}(au) \quad \text{avec } u = \frac{x}{\lambda}$$

Diffraction déterminée par le paramètre  $d/\lambda$  : si  $\lambda \ll d \Rightarrow$  diffraction négligeable

$$I(x) = I_0 \operatorname{sinc}^2(du)$$

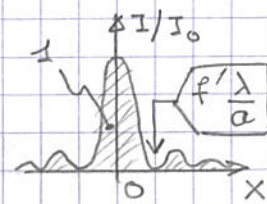
Observation dans le plan focal d'une lentille



$$I(x) = I_0 \operatorname{sinc}^2\left(\frac{x}{f'/\lambda}\right)$$

A deux dimensions :

$$I(x,y) = I_0 \operatorname{sinc}^2\left(\frac{x}{f'/\lambda}\right) \operatorname{sinc}^2\left(\frac{y}{f'/\lambda}\right)$$



Application : critère de Rayleigh : la figure de diffraction est toujours centrée sur l'image géométrique de la source ( placé au foyer objet d'une lentille pour éclairer le diaphragme) ; si deux sources  $\Rightarrow$  les deux images ne sont séparées que si  $\Delta x > f'/\lambda$   
Consequence : limitation du pouvoir de résolution des instruments d'optique en raison de la limitation de l'étendue des faisceaux.

## II.3. Diffraction par une ouverture circulaire

Franges circulaires  $\Rightarrow$  rayon angulaire de la frange centrale

$$\alpha = \frac{1,22 \lambda}{D}$$

$$\rightarrow \Delta x = f'\alpha > 1,22 \cdot f' \cdot \lambda$$

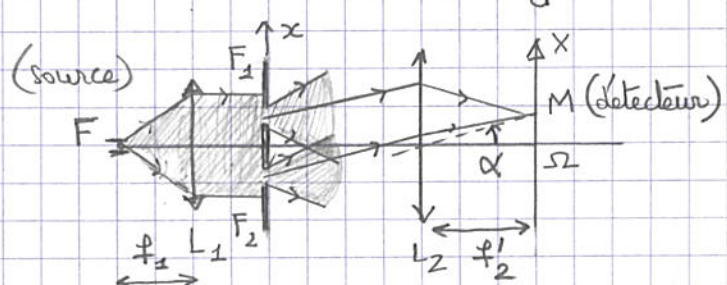
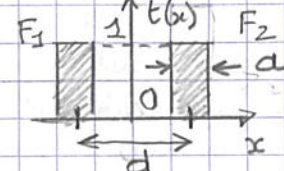
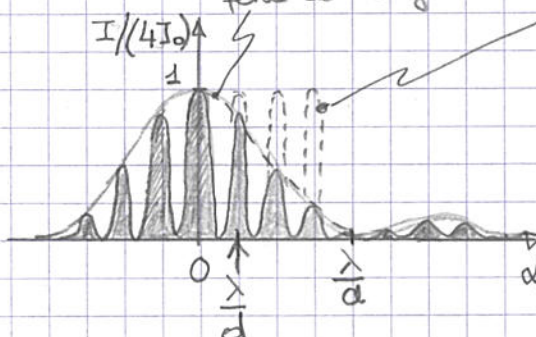
## II.4. Diffraction par deux fentes : dispositif d'Young

$$t(x) = 1 \text{ pour } \frac{d-a}{2} < |x| < \frac{d+a}{2}$$

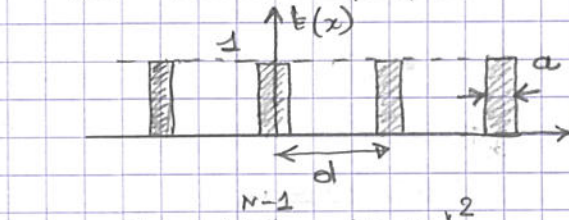
Cohérence dans l'éclairage de  $F_1$  et  $F_2$   
 $\Rightarrow$  on somme les amplitudes

$$I(x) = 2I_0 \frac{\sin^2(\pi d\alpha/\lambda)}{(\pi d\alpha/\lambda)^2} \left[ 1 + \cos\left(2\pi\alpha \frac{d}{\lambda}\right) \right]$$

diffraction par une fente de largeur  $a$       interférence entre deux sources cohérentes ( $x = f'_2 \alpha$ ;  $i_0 = \frac{\lambda}{d}$ )



## II.5. Réseaux optiques



N fentes éclairées de manière cohérente

$$I = I_0 \frac{\sin^2(\pi \alpha a / \lambda)}{(\pi \alpha a / \lambda)^2} |R(\alpha)|$$

fonction réseau  
(interférence en N fentes)

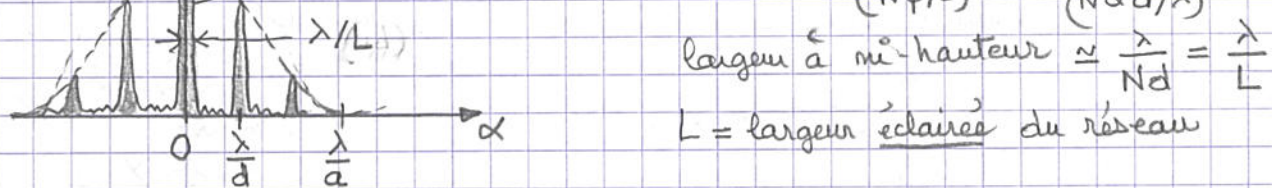
$$R(\alpha) = \left| \sum_{n=0}^{N-1} \exp(-in\phi) \right|^2 \text{ avec } \phi = 2\pi \alpha \frac{d}{\lambda}$$

$$\sum_{n=0}^{N-1} [\exp(-i\phi)]^n = \left| \frac{1 - \exp(-iN\phi)}{1 - \exp(-i\phi)} \right|^2 = N \left[ \frac{\sin(N\phi/2)}{N \sin(\phi/2)} \right]^2 \text{ fonction périodique de période } 2\pi$$

$R(\alpha) \rightarrow N^2 \text{ si } \phi \rightarrow 0$  (frange centrale  $\rightarrow N^2$  : effet de cohérence)

Maxima principaux distants de  $\Delta\phi = 2\pi \Rightarrow \Delta\alpha = \frac{\lambda}{d}$

$$I/(N^2 I_0) \propto 1 + \frac{\sin^2(N\phi/2)}{(N\phi/2)^2} = \frac{\sin^2(N\alpha d / \lambda)}{(N\alpha d / \lambda)^2}$$



$$\text{l'aire à mi-hauteur} \approx \frac{\lambda}{Nd} = \frac{\lambda}{L}$$

$L$  = largeur éclairée du réseau

Application : spectrométrie à réseaux (les plus utilisés : plus dispersifs, plus large gamme que ceux à prismes)

Pouvoir de résolution

$$\Omega_r = m N$$

ordre de diffraction

On utilise surtout les réseaux en réflexion

Conclusion : La diffraction ne peut s'interpréter que dans le cadre de l'optique ondulatoire ; à ce titre l'optique géométrique apparaît comme une approximation lorsque  $\lambda \ll a$  ( $a$  dimension du diaphragme le plus petit du système optique)

La diffraction est un obstacle au pouvoir de résolution des instruments d'optique ; pour "contourner" le critère de Rayleigh, il faut se placer en optique non propagative (champ prop de) ou avoir recours à des phénomènes ondulatoires de plus courte  $\lambda$  (optique électronique, neutronique, atomique)

La diffraction par un ensemble d'objets périodiques (réseaux) est exploitée pour la spectroscopie optique (électronique ; atomique). En particulier ces réseaux cristallins diffusent la lumière X, les e- lents et les neutrons de faible énergie.